

Universität Hamburg
Physikalisches Praktikum für Fortgeschrittene
Sommer-Semester 2014

**Versuch: SALOME (Simple
Accelerator for Learning Optics and
Manipulation of Electrons)**

Praktikanten: Alexander Okupnik
Vincent Koppen
Betreuer: Dr. Velizar Miltchev

durchgeführt vom 1.9. bis zum 5.9.2014

Inhaltsverzeichnis

1	Einleitung	1
1.1	Aufbau	1
1.2	Theorie	3
1.3	Phasenraum, Emittanz und Twissparameter	3
2	Energiemessung	4
3	Emittanzmessung	7
3.1	Messung durch Variation des Quadrupolstroms	7
3.2	Messung durch Variation der Schirme	7
4		9
4.1	9
5		10
5.1	10
6		11
6.1	11
7	Literaturverzeichnis	12

1 Einleitung

Ziel eines Teilchenbeschleuniger ist es einen Teilchenstrahl oder -bunch zu beschleunigen und möglichst fokussiert auf einer Sollbahn zu halten. Einerseits um keine Teilchen zu verlieren, andererseits um z.B. bei einem Collider die Teilchendichte hoch zu halten. In unserem Versuch werden wir mit einem einfachen Linearbeschleuniger arbeiten und die Energie sowie die Emittanz, eine die Qualität des Strahls charakterisierende Größe die wir im Theorieteil erklären werden, zu messen.

1.1 Aufbau

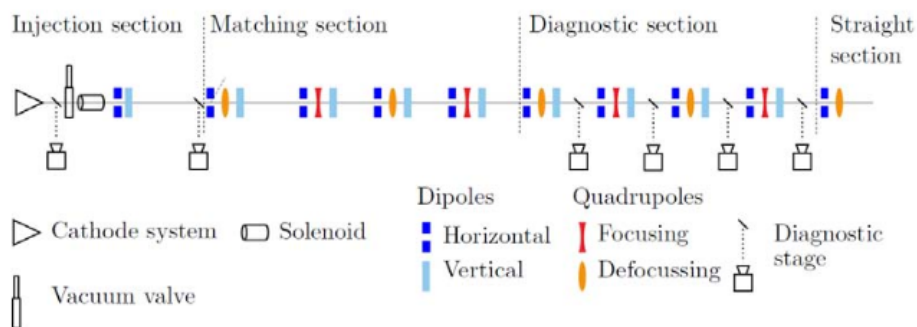


Abbildung 1.1:

Der Teilchenbeschleuniger besteht aus einem Kathodenstrahler zur Erzeugung des Strahls, einer Spule (Solenoidmagnet) dessen äußere Streufelder fokussierend wirken, einigen Dipol- und Quadromagneten.

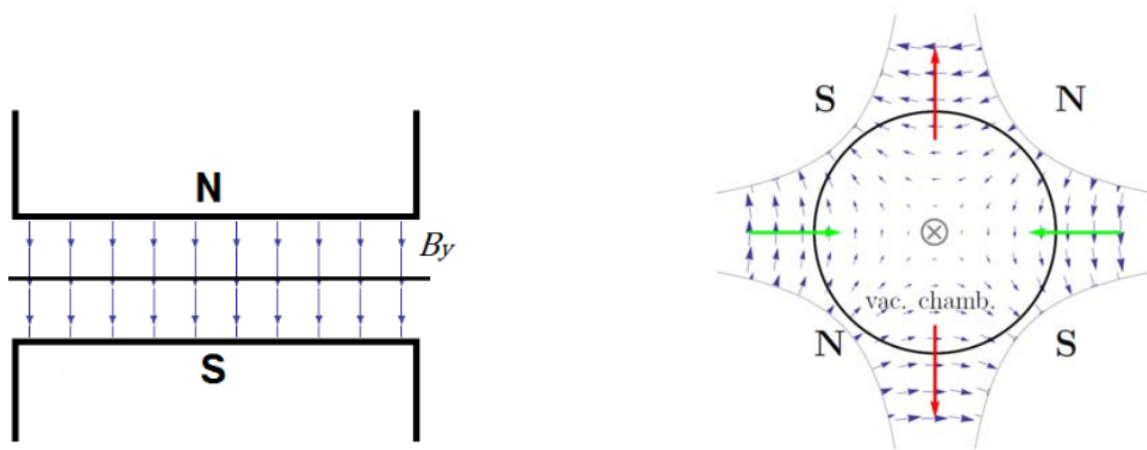


Abbildung 1.2: Di-und Quadropolschemata

Wie man im Bild xx illustriert sehen kann erzeugt der Dipolmagnet ein homogenes Magnetfeld in (vertikale) y-Richtung, das dafür geeignet ist externe Magnetfelder wie das Erdmagnetfeld zu kompensieren. Nehmen wir ein idealisierten Teilchenstrahl an, so lenkt der Dipol den Strahl auf eine Kreisbahn $e/p \cdot B_y = 1/R$.

P: Impuls in Richtung der Sollbahn

R: Radius der Kreisbahn

Die Stärke des Dipols werden wir im Folgendem damit charakterisieren. Der Quadrupol hängt linear von x ab und wirkt in einer Ebene fokussierend in der anderen defokussierend, deswegen werden sie um 90° gedreht hintereinander aufgebaut.

$$e/p \cdot B_y(x) = kx$$

$$e/p \cdot B_x(y) = -ky$$

k: Stärke des Quadrupolmagneten

1.2 Theorie

1.3 Phasenraum, Emittanz und Twissparameter

Man stellt zunächst die Bewegungsgleichungen eines einzelnen Teilchens auf und guckt wie dieses sich unabhängig von den anderen Teilchen im Bezug auf die Sollbahn bewegt. Den Einfluss der Teilchen aufeinander kann hier vernachlässigt werden da der Strom sehr klein ist. Hergeleitet findet man die DGL im Wille S. xx , die genaue Form soll uns hier aber nicht interessieren. Es stellt sich wie durch die fokussierende Wirkung der Quadropolmagnet vermutet heraus, dass ein Teilchen eine osillierende Bewegung um die Sollbahn durchfährt.

Im Phasenraum ist die Bewegung des Teilchens durch eine Ellipse beschrieben:

$$\epsilon = \gamma(s)x^2(s) + 2\alpha(s)x(s)x'(s) + \beta(s)x'^2(s) \quad (1.1)$$

s soll hier die parametrisierung der Sollbahn darstellen. $x(s)$ ist die Ablenkung zur Sollbahn, $x'(s)$ Der Winkel zwischen Geschwindigkeit und Sollbahn.

$\gamma(s), \alpha(s), \beta(s)$ sind die sogenannten “Twissparameter”, sie bestimmten die Form und Position der Ellipse, und sind auch abhängig von der Position auf der Sollbahn. ϵ ist die Emittanz des Teilchens. Sie wurde als Integrationskonstante in den Bewegungsgleichungen eingeführt und ist daher unabhängig von s. Sie ist bis auf den Faktor π die Fläche der Ellipse im Phasenraum.

2 Energiemessung

Zuerst führen wir eine Energiemessung des Elektronenstrahls mithilfe eines Dipolmagneten durch. Die Elektronen, aus dem der Strahl besteht, werden am Anfang des Beschleunigers thermisch durch die Kathode erzeugt und erhalten so ihre kinetische Energie und ihren Impulsbetrag, die sie von da an behalten, da sie im Beschleuniger nur mit den Feldern der Dipol- und Quadrupolmagnete über die Lorentzkraft wechselwirken.

Die Energiemessung geschieht, indem der Zusammenhang zwischen Ablenkung durch einen der Dipole und Stärke des Dipols gemessen wird, da erstere theoretisch linear von der letzteren abhängt. Genauer gilt:

Sei L_{eff} die Länge des Einflussbereichs des Dipols, sei dahinter eine Driftstrecke mit Länge L_{drift} und am Ende ein Schirm. Sei x der Versatz des Strahls auf dem Schirm in die Richtung, in die er vom Dipol abgelenkt wird. Es gilt dann $x = x_0 + \frac{dx}{dI}I$, wobei x_0 der Versatz auf dem Schirm ohne Wirkung des Dipols ist. (Man bedenke, dass $\frac{dx}{dI}$ negativ sein kann.) I ist der Strom des Dipols und dieser ist proportional zur Dipolfeldstärke B . Es gibt also ein κ so, dass $\kappa I = BL_{eff}$. Sei v die Geschwindigkeit der auf den Schirm treffenden Elektronen, $\beta := \frac{v}{c}$, c die Lichtgeschwindigkeit, $\gamma := \frac{1}{\sqrt{1-\beta^2}}$, m_e die Elektronenmasse und e die Elementarladung. Dann gilt:

$$\beta\gamma = \frac{e\kappa L_{drift}}{m_e c \left| \frac{dx}{dI} \right|} \quad (2.1)$$

Wir messen eine Reihe von Wertepaaren für I und x , indem wir zuerst mit Blick auf das Kamerabild des Schirms 3 ein Intervall für den Dipolstrom I aussuchen, bei dem der Strahl ganz auf dem Schirm zu sehen ist. Dann messen wir für (0,05 A)-Schritte innerhalb dieses Intervalls Werte für x mit den Messergebnissen, die in Tabelle 2.1 dargestellt sind. Die Messung wird dabei so durchgeführt, dass zuerst der Strahl ganz vom Schirm abgelenkt wird, indem der Strom des horizontalen Dipols V14NJ um 1 A verstellt wird. Dann wird von der Kamera ein Bild aufgenommen (durch Mittelung über 50 frames), welches im Folgenden als Hintergrund von den Bildern mit Strahl abgezogen wird. Das Bildanalyse-Programm ermittelt dann jeweils nach Mittelung über 20 frames die x -Position des Intensitätsmaximums, welches der Strahlmitte entspricht, nachdem mit der Maus ein enger Bereich um den Strahlfleck im Kamerabild abgegrenzt wird.

Aus den Messwerten in Tabelle 2.1 ermitteln wir mithilfe linearer Regression einen Wert für $\frac{dx}{dI}$, woraus wir mit (2.1) einen Wert für $\beta\gamma$ erhalten. Wir finden $\frac{dx}{dI} = -0,0147 \pm 0,0002 \frac{\text{m}}{\text{A}}$ (siehe hierzu auch Abbildung 2.1) und daraus mit Fehlerfortpflanzung $\beta\gamma = 0,168 \pm 0,002$. Wegen $\gamma = \sqrt{1 + \beta^2\gamma^2}$ erhalten wir damit $\gamma = 1,0139 \pm 0,0004$.

I [A]	x [mm]
-3,50	4,07
-3,45	3,41
-3,40	2,71
-3,35	2,05
-3,30	1,23
-3,25	0,37
-3,20	-0,10
-3,15	-0,58
-3,10	-1,44
-3,05	-2,19
-3,00	-2,85
-2,95	-3,55
-2,90	-4,16
-2,85	-5,05
-2,80	-6,21
-2,75	-6,82
-2,70	-7,85
-2,65	-8,56
-2,60	-9,21
-2,55	-9,78
-2,50	-10,17

Tabelle 2.1: Messung des horizontalen Versatzes x auf Schirm 3 bei Ablenkung durch den Dipol H15Match betrieben mit Strom I .

Da $\gamma = \frac{E}{m_e c^2} = 1 + \frac{E_{\text{kin}}}{m_e c^2}$ gilt, wenn E die Gesamtenergie des einzelnen Elektrons ist, erhalten wir schliesslich für seine kinetische Energie $E_{\text{kin}} = 7,1 \pm 0,2$ keV, wobei wir den Literaturwert $m_e c^2 = 511$ keV verwenden. Wir erhalten dann für den Impuls $p = m_e c^2 \gamma \beta \frac{1}{c} = 85,6 \pm 1,2 \frac{1}{c} \text{keV}$.

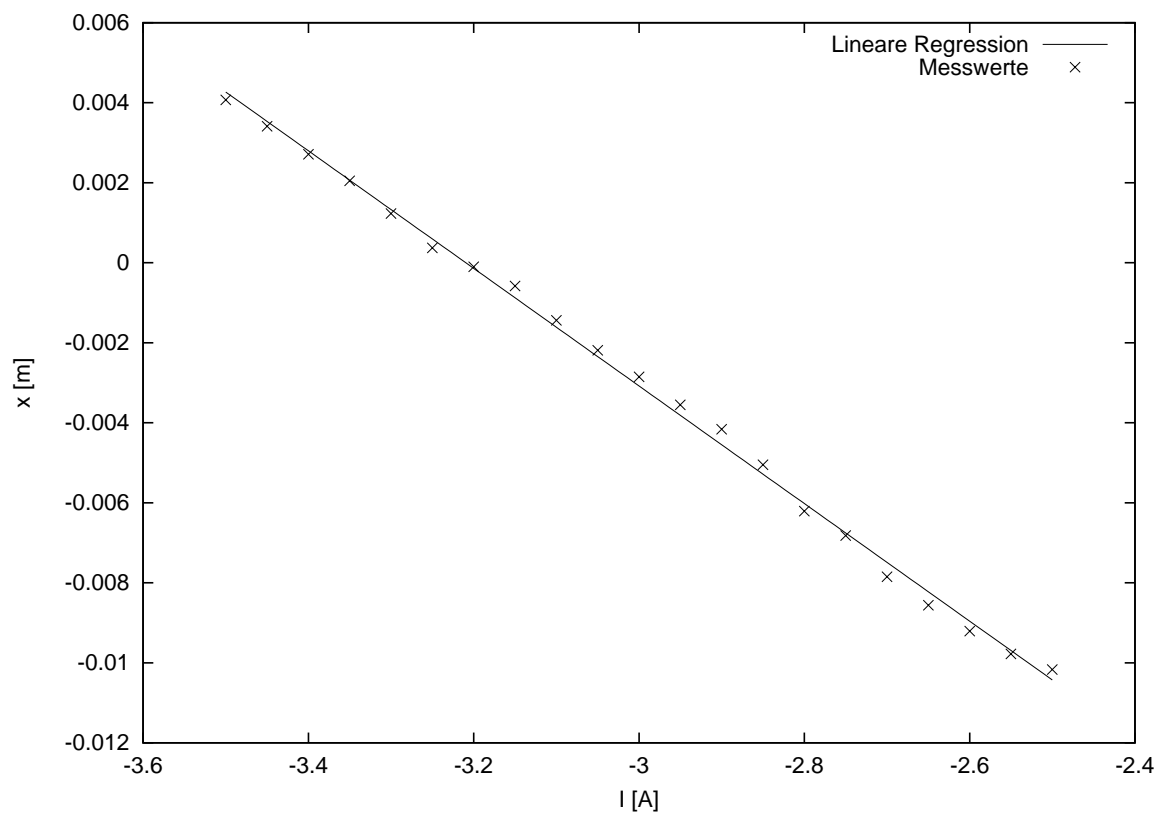


Abbildung 2.1: Messwerte aus Tabelle 2.1 mit Regressionsgerade gegeben durch $x = -0,0147 \cdot I - 0,0472$.

3 Emittanzmessung

An jedem Punkt z entlang des Orbits hat der Elektronenstrahl unter Anderem die Größen $\langle x^2 \rangle(z)$, $\langle xx' \rangle(z)$, $\langle x'^2 \rangle(z)$, bzw. $\langle y^2 \rangle(z)$, $\langle yy' \rangle(z)$, $\langle y'^2 \rangle(z)$. Wenn $R = \begin{pmatrix} R_{11} & R_{12} \\ R_{21} & R_{22} \end{pmatrix}$ die Transformationsmatrix der Größen x und x' eines einzelnen Elektrons von z_0 zu z_1 ist, dann gilt

$$\begin{pmatrix} \langle x^2 \rangle(z_1) \\ \langle xx' \rangle(z_1) \\ \langle x'^2 \rangle(z_1) \end{pmatrix} = \begin{pmatrix} R_{11}^2 & 2R_{12}R_{11} & R_{12}^2 \\ R_{21}^2 & 2R_{22}R_{21} & R_{22}^2 \end{pmatrix} \begin{pmatrix} \langle x^2 \rangle(z_0) \\ \langle xx' \rangle(z_0) \\ \langle x'^2 \rangle(z_0) \end{pmatrix}, \quad (3.1)$$

und es gilt Analoges für y .

Für die entlang des Orbits erhaltene Emittanz ε gilt

$$\varepsilon = \sqrt{\langle x^2 \rangle(z) \langle x'^2 \rangle(z) - \langle xx' \rangle(z)^2} \quad \forall z \quad (3.2)$$

Wir werden hierzu die Größen $a_1 := \langle x^2 \rangle$, $a_2 := \langle xx' \rangle$ und $a_3 := \langle x'^2 \rangle$ (und alles Folgende analog für y) direkt vor dem Quadrupolmagneten V46MATCH bestimmen und daraus dann die transversalen Emittanzen ε_x und ε_y und ihre normierten Varianten $\varepsilon_{x,n}$ und $\varepsilon_{y,n}$ erhalten.

Für ersteres werden wir den Elektronenstrahl n -mal auf verschiedene Weise transformieren (über verschiedene Strecken oder Optiken), wobei b_i die Größe $\langle x^2 \rangle$ nach der i -ten Transformation und $R^{(i)}$ die entsprechende Transformationsmatrix ist. Das für großes n überbestimmte lineare Gleichungssystem

$$\begin{pmatrix} b_1 \\ \vdots \\ b_n \end{pmatrix} = \underbrace{\begin{pmatrix} R_{11}^{(1)2} & 2R_{12}^{(1)}R_{11}^{(1)} & R_{12}^{(1)2} \\ \vdots & \vdots & \vdots \\ R_{11}^{(n)2} & 2R_{12}^{(n)}R_{11}^{(n)} & R_{12}^{(n)2} \end{pmatrix}}_{=:B} \begin{pmatrix} a_1 \\ a_2 \\ a_3 \end{pmatrix} \quad (3.3)$$

an die zu ermittelnden Unbekannten a_1 , a_2 , a_3 kann und wird dann Grundlage für einen χ^2 -Fit sein.

3.1 Messung durch Variation des Quadrupolstroms

Zuerst lassen wir den Elektronenstrahl von dem Punkt direkt vor V46MATCH bis zum Schirm 2 auf verschiedene Weise transformieren, indem wir an V46MATCH jeweils 25, bzw. 19 verschiedene Stromstärken einstellen und dann $\langle x^2 \rangle$, bzw. $\langle y^2 \rangle$ an Schirm 3 messen. Die Messergebnisse sind in den Tabellen 3.1 und 3.2 dargestellt.

3.2 Messung durch Variation der Schirme

I [A]	$\langle x^2 \rangle$ [mm]
0,70	0,66
0,75	0,616
0,80	0,58
0,85	0,55
0,90	0,5
0,95	0,48
1,00	0,44
1,05	0,4
1,10	0,4
1,15	0,39107
1,20	0,382277
1,25	0,381375
1,30	0,380214
1,35	0,396236
1,40	0,403774
1,45	0,429807
1,50	0,450623
1,55	0,466817
1,60	0,500828
1,65	0,525564
1,70	0,548818
1,75	0,572263
1,80	0,627355
1,85	0,659232
1,90	0,673288

Tabelle 3.1: Messung der horizontalen Strahlgröße $\langle x^2 \rangle$ an Schirm 2 in Abhängigkeit des Quadrupolstroms I bei V46MATCH.

I [A]	$\langle y^2 \rangle$ [mm]
---------	----------------------------

Tabelle 3.2: Messung der vertikalen Strahlgröße $\langle y^2 \rangle$ an Schirm 2 in Abhängigkeit des Quadrupolstroms I bei V46MATCH.

4

4.1

5

5.1

6

6.1

7 Literaturverzeichnis